

Ing. Miroslav KOTRBATÝ
soukromý podnikatel

Rozmístování a zapojování sálavých panelů

Radiant Panels Allocation and Connecting Placement and Interconnection of Radiant Panels

Recenzent
doc. Ing. Karel Brož, CSc.

Článek uvádí vhodná pravidla pro dimenzování zavěšených sálavých panelů k vytápění hal (včetně jejich umístění). Pravidla jsou dokumentována na konkrétních příkladech.

Klíčová slova: vytápění, sálavý panel, regulovatelný ejektor, tepelný výkon, dimenzování

The article indicates outlines appropriate specific rules for the dimensioning of suspended radiant heating panels for meeting halls heating (including their placement). The rules are documented based on actual examples.

Key words: heating, radiant panel, controllable ejector, heat output, dimensioning

1. ÚVOD

Všeobecně platné tvrzení, že sálavé vytápění velkoprostorových objektů zavěšenými panely je proti nástěnným teplovzdušným soupravám hospodárnější, může ještě zvýraznit vhodné rozmístění a zapojení sálavé otopné plochy.

Na jednotlivé části objektu působí různorodé vnější i vnitřní vlivy, jako jsou venkovní stěny, okna, infiltrace, světlíky, technologie, provozní režim atp. Jsou tak vytvářeny zóny s různými nároky na dodávku tepelné energie pro vytápění. Z toho pak vyplývá rozdělení otopné soustavy na samostatně regulovatelné sekce.

Podmínky, které ovlivňují rozmístování a zapojování panelů do sálavých pásů jsou:

- sálavá otopná plocha slouží i jako rozvodné potrubí,
- kompensace vnitřních i vnějších vlivů ve vytápěné zóně.

2. SÁLAVÁ OTOPNÁ PLOCHA SLOUŽÍ I JAKO ROZVODNÉ POTRUBÍ

Jedním z prvků, které ovlivňují hospodárnost návrhu – v daném případě pořizovacích nákladů – je **omezení délky rozvodného potrubí** pro připojení jednotlivých sálavých pásů. Doporučuje se proto volit v každé samostatně regulovatelné zóně **sudý počet pásů** (obr. 1 až 5). Tímto řešením se prakticky veškeré rozvodné potrubí soustředí pouze u obou čel haly. Sálavé panely se stávají součástí rozvodů. Při volbě počtu pásů je vhodné vycházet z **maximální rozteče zavěšení** ($l \leq h$) přičemž k vzdálenosti l lze přičíst šířku panelu (obr. 6).

Výsledkem splnění tohoto požadavku je menší počet širších pásů. Pořizovací náklady jsou nižší než při větším počtu pásů užších s menší roztečí zavěšení.

Dalším velice pozitivním prvkem je **soustředění veškerých obslužných armatur do jednoho místa při podlaze objektu** \Rightarrow minimální nároky na obsluhu a údržbu. Regulační ejektorový blok (obr. 7) obsahuje pouze čtyři uzavírací, jednu ruční regulační armaturu, filtr a ejektor. Pod střešním pláštěm tudíž není ani jedna armatura – pouze sálavé panely bez praktické možnosti poruch.

K odstranění armatur pod střešou přispívá zavěšování panelů do vodorovné polohy a napojení přívodního potrubí do prvního sálavého pásu zespodu. Zpětné potrubí ze soustavy je vedeno vzhůru a před klesáním k ovládacímu ejektorovému bloku se instaluje pouze jedno odvodušnění celé soustavy (obr. 6). Používá se nádobka a svod s armaturou nad podlahou. Nedoporučují se automatické odvodušňovače pro možnost poruch ve výškách a následného požadavku na údržbu.

Přívod elektřiny je pouze k pohonu ejektoru a regulátoru. Jinak není další elektrické zařízení s možností poruch a nároku na potřebu elektrické energie.

3. KOMPENZACE VNĚJŠÍCH I VNITŘNÍCH VLVIVŮ VE VYTÁPĚNÉ ZÓNĚ

Pouhé rozdělení sálavé otopné soustavy na zóny, které vzniknou působením vnějších i vnitřních vlivů (př.: jedna zóna = vnější výrobní loď se stejnou technologií, druhá zóna = vnitřní loď atd.), a následně pak **rovnoměrné osazení sálavé otopné plochy** v těchto zónách je jak z hlediska rovnoměrnosti vytápění, tak z hlediska hospodárnosti provozu **problematické**. Významnou roli pro hospodárny návrh hraje jak **pořadí** v napojení jednotlivých sálavých pásů za sebou, tak také **provozní teploty teplotnosné látky**.

3.1 Velký teplotní rozdíl teplotnosné látky – 135/130/70 °C.

3.11 Krajiní výrobní loď

Při větších teplotních rozdílech $\Delta t = 40 \div 60$ K je možné z hydraulického hlediska vytvářet otopnou plochu pro poměrně dlouhé haly jako jedno otopné těleso (obr. 1). Jeho celková délka je $L = 4 \times 54 \text{ m} = 216 \text{ m}$.

Navržené řešení je příkladem nevhodného zapojení sálavých pásů pro vytápění **krajiní lodě** haly. Osazení otopnou plochou vychází z tepelné ztráty celé zóny. Díky zvolenému pořadí zapojení sálavých pásů je dodávaná tepelná energie rovnoměrně na celou plochu. V příčném i podélném řezu je střední teplota teplotnosné látky stejná v obou polovinách lodě $t_m = 100$ °C.

Tepelná ztráta podélné poloviny haly s vnější stěnou včetně infiltrace $Q_1 = 73\,600 \text{ W}$.

Tepelná ztráta vnitřní podélné poloviny haly $Q_2 = 44\,400 \text{ W}$.

Celkem $Q_c = 118\,000 \text{ W}$.

Osazení sálavými panely

Q_1 pro 4 panely $\times 54\,000/600 - K2$,
šířka panelů $B = 600 \text{ mm}$.

Výkon panelů se určí podle následujícího vztahu

$$q_0 = 1,1 \times C \times \Delta t^n \text{ (W/m)} \quad (1)$$

$$\Delta t = (t_m - t_g) \text{ (K)} \quad (2)$$

t_m {°C} – střední teplota teplotnosné látky (vody),
 t_g {°C} – výsledná teplota ve vytápěném prostoru,
 C – experimentálně určený součinitel.

Výpočtový vztah a příslušné hodnoty byly stanoveny zkušebníou HKL Stuttgart – viz tab. 1.

$$q_{600} = 1,1 \times 2,67 \times (100 - 18)^{1,19} = 555 \text{ W/m}.$$

Dodaný výkon do jedné podélné poloviny haly
 $Q_{1/2} = 2 \times 54 \text{ m} \times 555 \text{ W/m} = 59\,940 \text{ W}$.

Celá hala $Q_c = 2 \times 59\,940 \text{ W} = 119\,880 \text{ W}$.

Rozdíl mezi vypočítanou hodnotou tepelných ztrát celé krajní lodě a dodávaným celkovým výkonem je nepatrný – lze akceptovat.

Požadavky na dodávku tepla do jednotlivých podélných částí jsou však zcela odlišné.

Při porovnání konkrétních hodnot lze dojít k závěru: **buď nedostatečné vytápění vnější podélné části lodě, nebo přetápění vnitřní podélné části lodě.** Která z daných variant přichází v reálném provozu v úvahu, závisí na umístění čidla snímajícího vnitřní referenční teplotu (obr. 1). K přetápění vnitřní části dojde při umístění čidla na vnější stěně haly (R1), k nedotápění vnější části pak při umístění čidla ve vnitřní části (R2).

Rovnoměrnost vytápění po celé ploše krajní lodi lze dosáhnout využitím velkého teplotního rozdílu otopného média (130/70 °C) a vhodným zapojením sálavých pásů. Na obr. 2 je ukázáno zapojení pásů za sebou od vnější stěny ke středu objektu. Tímto způsobem se využije vyšší teploty otopné vody v panelech situovaných ve vnější polovině podélné části haly. Otopné těleso zde dodává větší výkon než v části vnitřní s nižší teplotou média.

Prvé dva pásy mají po celé délce objektu průměrnou střední teplotu = 115 °C

Ve vnitřní podélné polovině je střední teplota $t_m^2 = 85 \text{ °C}$.

Výkony panelů pro jednotlivé části se určí podle shora uvedeného vztahu (1): ($q_0 = 1,1 \times C \times \Delta t^n$)

Výkony panelů B = 600 mm

$$q_{600-1} = 1,1 \times 2,67 \times (115 - 18)^{1,19} = 679 \text{ W/m} \quad Q_{1-1} = 2 \times 54 \text{ m} \times 679 \text{ W/m} = 73\,332 \text{ W}$$

$$q_{600-2} = 1,1 \times 2,67 \times (85 - 18)^{1,19} = 437 \text{ W/m} \quad Q_{1-2} = 2 \times 54 \text{ m} \times 437 \text{ W/m} = 47\,196 \text{ W}$$

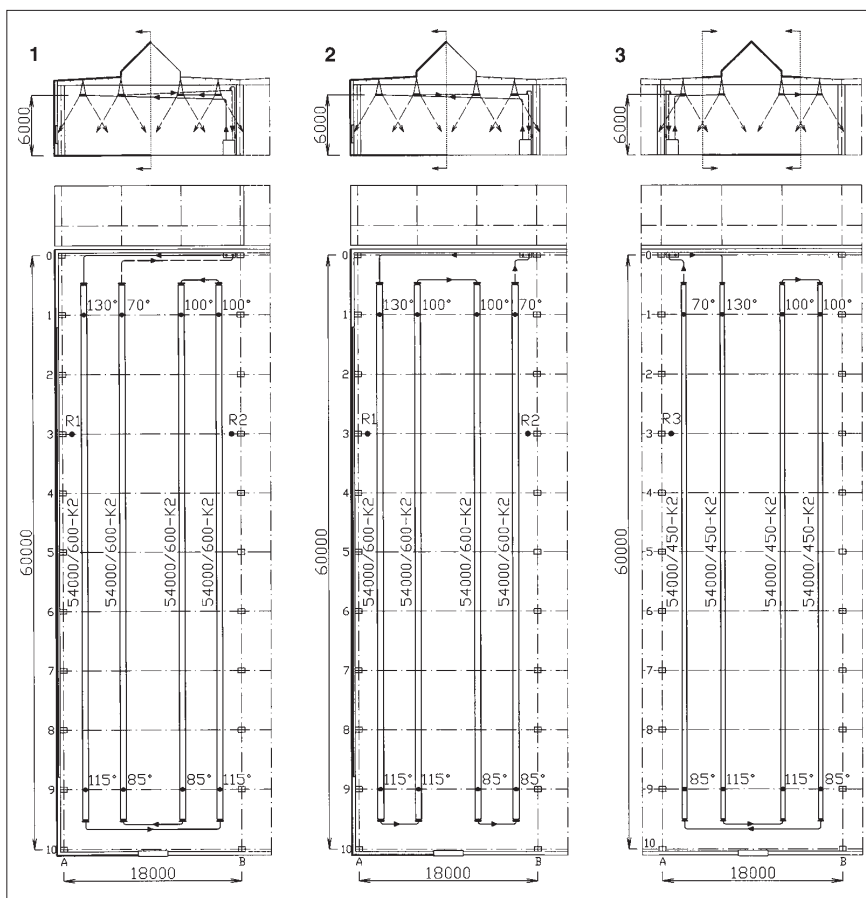
Tab. 1 Hodnoty pro výpočet výkonu panelů

B [mm]	C [-]	n [-]
300	1,52	1,18
450	2,17	1,18
600	2,67	1,19
750	3,24	1,19
900	3,79	1,19
1050	4,32	1,19
1200	4,85	1,19

Jak je z porovnání s tepelnými ztrátami obou podélných polovin krajní haly zřejmé, jsou hodnoty téměř srovnatelné, tudíž může být dosaženo rovnoměrného vytápění po celé ploše v optimálním provozním režimu. Čidlo snímající vnitřní výslednou teplotu může být umístěno jak na vnější stěnu, tak do vnitřní části (sloup). Je tudíž tento princip zapojení vyhovující.

Kontrola rychlosti proudění

Důležitým krokem je kontrola rychlosti proudění teplotnosné látky v trubkách panelů. Při jejich vodorovném zavěšování je zapotřebí dodržet minimální rychlost $w_{\min} = 0,15 \text{ m/s}$.



Obr. 1 Nevhodné zapojení sálavých pásů v krajní lodi při velkém teplotním rozdílu otopné vody (130/70 °C)
 Krajní loď

Obr. 2 Správné zapojení sálavých pásů v krajní lodi při velkém teplotním rozdílu otopné vody (130/70 °C)
 Krajní loď

Obr. 3 Správné zapojení sálavých pásů ve vnitřní lodi při velkém teplotním rozdílu otopné vody (130/70 °C)
 Vnitřní loď

Vzduchové bublinky jsou unášeny ve směru toku teplotnosné látky. Potom je možné odvětvovat jedním zařízením až na konci sekce, přímo v blízkosti ejektorového bloku. Doporučuje se používat odvětvovací nádobku se svodem nad podlahu a zde pak instalovat vypouštěcí armaturu. Automatické odvětvovače nejsou vhodné s ohledem na možnost poruch ve výškách ⇒ náročnost pro obsluhu a údržbu.

$$\text{Průtok vody } M = \frac{Q \times 0,86}{\Delta t} = \frac{119880 \times 0,86}{130 - 70} = 1718,28 \text{ kg/h}$$

Panely šířky 600 mm mají 4 moduly = 4 trubky.

$$\text{Průtok jednou trubkou } M_1 = 1718,4 : 4 = 429,57 \text{ kg/h}$$

Z tab. 2 pro trubku 28/1,5 a uvedené množství vyplývá rychlost $w = 0,23 \text{ m/s}$.

Vyhovuje.

3.12 Vnitřní výrobní loď

Zcela odlišné řešení si vyžaduje vnitřní výrobní loď. V tomto případě má největší vliv plocha světlíku. Proto je nutné při návrhu rozmístění a zapojování sálavých pásů věnovat pozornost také jejich vlivu (obr. 3).

Tepelná ztráta „zóny“ (vnitřní část střechy, světlík, podlaha) je $Q = 91\,600 \text{ W}$.

Osazení sálavými panely o požadovaném výkonu:

$$q_0 = \frac{91\,600 \text{ W}}{4 \times 54} = 424 \text{ W/m}, \text{ při } \Delta t = \frac{130 + 70}{2} - 18 = 82 \text{ K}$$

$$q_{450} = 1,1 \times 2,17 \times 82^{1,19} = 452 \text{ W}$$

$$Q_1 = 4 \times 54 \times 452 = 97\,632 \text{ W}$$

Tab. 2 Hodnoty pro výpočet hydraulických poměrů v trubkách sálavých panelů

28 / 2,6									ε = 0,045 mm tm	28 / 1,5								
80 °C			100 °C			125 °C				80 °C			100 °C			125 °C		
R	Z	w	R	Z	w	R	Z	w		M	R	Z	w	R	Z	w	R	Z
[Pa/m]	[Pa]	[m/s]	[Pa/m]	[Pa]	[m/s]	[Pa/m]	[Pa]	[m/s]	[kg/h]	[Pa/m]	[Pa]	[m/s]	[Pa/m]	[Pa]	[m/s]	[Pa/m]	[Pa]	[m/s]
23	11	0.15	23	16	0.18	17	17	0.19	260	15	11	0.15	14	11	0.15	14	12	0.16
27	13	0.16	26	19	0.20	20	19	0.20	280	17	13	0.16	16	13	0.17	16	13	0.17
30	15	0.17	29	22	0.21	23	22	0.22	300	19	15	0.17	19	15	0.18	18	15	0.18
34	17	0.19	33	25	0.23	26	25	0.23	320	22	17	0.19	21	17	0.19	21	17	0.19
38	19	0.20	37	28	0.24	29	28	0.25	340	24	19	0.20	23	19	0.20	23	20	0.20
42	21	0.21	41	31	0.26	33	32	0.26	360	27	21	0.21	26	22	0.21	25	22	0.22
46	24	0.22	45	35	0.27	37	36	0.28	380	29	24	0.22	29	24	0.22	28	25	0.23
51	26	0.23	50	39	0.28	41	39	0.29	400	32	26	0.23	31	27	0.24	31	27	0.24
56	29	0.24	54	43	0.30	45	43	0.30	420	35	29	0.24	34	29	0.25	34	30	0.25
61	32	0.26	59	47	0.31	49	48	0.32	440	38	32	0.26	37	32	0.26	37	33	0.27
66	35	0.27	64	51	0.33	54	52	0.33	460	42	35	0.27	41	35	0.27	40	36	0.28
71	38	0.28	70	56	0.34	59	57	0.35	480	45	38	0.28	44	38	0.28	43	39	0.29
77	41	0.29	75	60	0.35	64	62	0.36	500	49	41	0.29	47	42	0.30	47	43	0.30
85	46	0.31	84	68	0.38	72	69	0.38	530	54	46	0.31	53	47	0.31	52	48	0.32
94	52	0.33	93	76	0.40	80	77	0.41	560	60	52	0.33	58	52	0.33	58	53	0.34
107	59	0.35	106	87	0.43	92	89	0.43	600	68	59	0.35	67	60	0.35	66	61	0.36
118	65	0.37	116	96	0.45	101	98	0.46	630	74	65	0.37	73	66	0.37	72	68	0.38
132	74	0.39	130	108	0.48	114	111	0.49	670	83	74	0.39	82	75	0.40	81	77	0.40
147	83	0.41	145	122	0.50	129	124	0.51	710	93	83	0.41	91	84	0.42	91	86	0.43
163	93	0.44	161	136	0.53	143	139	0.54	750	103	93	0.44	101	93	0.44	100	96	0.45
184	105	0.47	182	155	0.57	163	158	0.58	800	116	105	0.47	114	107	0.47	114	109	0.48
206	119	0.49	204	174	0.60	184	178	0.62	850	130	119	0.49	128	121	0.50	127	123	0.51
229	133	0.52	227	196	0.64	207	200	0.65	900	144	133	0.52	142	135	0.53	142	138	0.54
254	149	0.55	252	218	0.67	230	222	0.69	950	160	149	0.55	158	151	0.56	158	154	0.57
280	165	0.58	278	241	0.71	255	246	0.72	1000	176	165	0.58	174	167	0.59	174	170	0.60
307	182	0.61	305	266	0.75	281	272	0.76	1050	193	182	0.61	191	184	0.62	191	188	0.63
336	199	0.64	333	292	0.78	309	298	0.80	1100	211	199	0.64	209	202	0.65	209	206	0.66
365	218	0.67	363	319	0.82	337	326	0.83	1150	229	218	0.67	227	221	0.68	227	225	0.69
396	237	0.70	394	348	0.85	367	355	0.87	1200	248	237	0.70	246	241	0.71	247	245	0.72
428	257	0.73	426	377	0.89	398	385	0.91	1250	268	257	0.73	266	261	0.74	267	266	0.75
462	278	0.76	459	408	0.92	431	416	0.94	1300	289	278	0.76	287	282	0.77	288	288	0.78
532	323	0.82	530	473	0.99	500	483	1,01	1400	333	323	0.82	331	327	0.83	332	334	0.84
607	371	0.87	606	543	1,06	574	554	1,09	1500	380	371	0.87	378	376	0.89	380	384	0.90
687	422	0.93	686	618	1,14	653	631	1,16	1600	430	422	0.93	430	422	0.93	430	436	0.96

Použitím panelů šířky š = 450 mm se instaluje výkon o 6,5 % vyšší, než vypočtené tepelné ztráty – není na závadu – odpovídající okamžitou provozní dodávku tepla zajistí regulace. Při návrhu zapojení je však zapotřebí respektovat vnější podmínky. Chladné plochy světlíku vyvolávají potřebu větší dodávky tepla do střední části výrobní lodi. Potom schéma zapojení uvedené na obr. 3 vyhovuje pro krytí zvýšené potřeby.

Poměr dodávky tepla do středu výrobní lodi a okrajových částí činí

$$Q_1 = 2 \times 54 \text{ m} \times 552 \text{ W/m} = 59\,616 \text{ W} \quad q_1 = 1,1 \times 2,17 \times 97^{1,19} = 552 \text{ W/m,}$$

$$Q_2 = 2 \times 54 \text{ m} \times 355 \text{ W/m} = 38\,340 \text{ W} \quad q_2 = 1,1 \times 2,17 \times 67^{1,19} = 355 \text{ W/m.}$$

Celkem 97 956 W

Hydraulicky rovněž vyhovuje, neboť zapojení pásu za sebou (4 x 54 m) a teploty vody (130/70 °C) jsou přibližně stejné jako předchozím příkladu: délka pásů i průtok vody jednou trubkou.

$$M_1 = \frac{97956 \times 0,86}{130 - 70} = 1404 \text{ kg/h} : 3 = 468 \text{ kg/h}$$

Z tab. 2: $w_0 = 0,27 \text{ m/s}$ vyhovuje

3.20 Malý teplotní rozdíl otopné vody 90/70 °C

3.21 Krajiní výrobní loď

Druhý extrémní příklad je na obr. 4 – krajiní výrobní loď.

Celková tepelná ztráta krajiní lodi $Q_c^z = 118\,000 \text{ W}$

Polovina haly – vnější část $Q_1^z = 73\,600 \text{ W}$

Polovina haly – vnitřní část $Q_2^z = 44\,400 \text{ W}$

Délka pásů 4 x 54 m, $L = 216 \text{ m}$

Požadovaný jmenovitý výkon $q_0 = 546 \text{ W/m}$

Teplotní rozdíl $\Delta t = \frac{90 + 70}{2} - 18 = 62 \text{ K}$

sálavý panel B = 900 mm při $\Delta t = 62 \text{ K}$ $q_{900} = 1,1 \times 3,79 \times 62^{1,19} = 556 \text{ W/m}$
 $Q = 4 \times 54 \times 556 = 120\,096 \text{ W.}$

Zapojení za sebou – kontrola rovnoměrnosti dodávky tepla
 Použije se stejný princip zapojení vyhovující teplotnímu rozdílu 130/70 °C (obr. 2).

Okrajová část haly – panely šířky B = 900 mm

$$q_0 = 1,1 \times 3,79 \times (85-18)^{1,19} = 621 \text{ W/m } q_0$$

$$Q_1^p = 2 \times 54 \text{ m} \times 621 \text{ W/m} = 67\,068 \text{ W}$$

Vnitřní část haly – panely šířky B = 900 mm

$$q_2 = 1,1 \times 3,79 \times (75-18)^{1,19} = 521 \text{ W/m}$$

$$Q_2^p = 2 \times 54 \text{ m} \times 512 \text{ W/m} = 55\,296 \text{ W}$$

Z porovnání tepelných ztrát a dodávaného tepla sálavými panely vyplývá,

$$\text{že v okrajové části je deficit dodávky ve výši } 9\% \text{ } x = \frac{67\,068 \text{ W}}{73\,600 \text{ W}} = 0,91.$$

$$\text{Ve vnitřní části pak dochází k přebytku ve výši } 25\% \text{ } x = \frac{55\,296 \text{ W}}{44\,400 \text{ W}} = 1,245.$$

Nevyhovuje.

Je tedy třeba hledat jinou cestu – využít malého teplotního rozdílu a přehodnotit šířky panelů v jednotlivých částech zóny (obr. 4).

Okrajová část haly B = 1050 mm

$$q_1^p = 1,1 \times 4,32 \times (80-18)^{1,19} = 645,4 \text{ W/m}$$

$$Q_1^p = 645,4 \text{ W} \times 2 \times 54 \text{ m} = 69\,660 \text{ W}$$

$$x = \frac{69\,660 \text{ W}}{73\,600 \text{ W}} = 0,946 \Rightarrow -5,4\% \text{ deficit.}$$

Vnitřní část haly B = 750 mm

$$q_2^p = 499 \text{ W} \times 2 \times 54 \text{ m} = 53\,892 \text{ W}$$

$$Q_2^p \times x = \Rightarrow +21\% \text{ přebytek.}$$

$$x = \frac{53\,892 \text{ W}}{44\,400 \text{ W}} = 1,21 \Rightarrow +21\% \text{ přebytek}$$

Celkem 69 660 W + 53 892 W = 123 552 W.

Tepelná ztráta 73 600 W + 44 400 W = 118 000 W.

Uvedený výsledek ve vnitřní části **nevychovuje**
– zvolit užší pásy – B = 600 mm .

$$q_2^p = 1,1 \times 2,67 \times (80-18)^{1,19} = 399 \text{ W/m}$$

$$Q = 2 \times 54 \text{ m} \times 399 \text{ W/m} = 43\,092 \text{ W}$$

$$x = \frac{43\,092 \text{ W}}{44\,400 \text{ W}} = 0,97 \Rightarrow -3\% \text{ vyhovuje.}$$

Celkový osazený výkon v sálavých panelech

$$Q_{\text{celk}} = 69\,660 \text{ W} + 43\,090 \text{ W} = 112\,752 \text{ W.}$$

Proti výpočtové hodnotě (118 000 W) celkový menší výkon o 5250 W, tj. o 4,5 % – vyhovuje.

Regulátor s optimalizačním programem a ejektor zvládnou tento mírný deficit – akumulace ve stavebních konstrukcích.

Kontrola rychlosti proudění

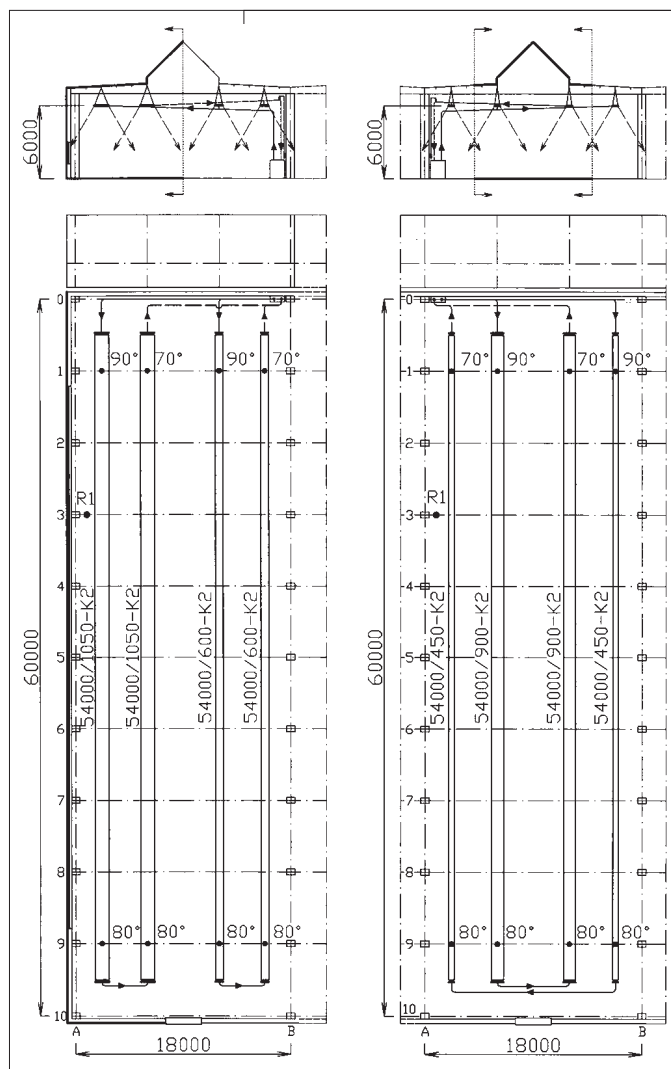
$$M = \frac{69\,660 \times 0,86}{20} = 2995 \text{ kg/h} - 7 \text{ modulů} \Rightarrow M_1 = \frac{2995}{7} = 427 \text{ kg/h,}$$

$$w_0 = 0,25 \text{ m/s; rychlost vyhovuje.}$$

Totéž platí i pro pásy B = 600 mm.

3.22 Vnitřní výrobní lodi

Tepelná ztráta vnitřní lodi činí Q = 91 600 W.



Obr. 4 Správné zapojení sálavých pásů v krajní lodi při malém teplotním rozdílu otopné vody (90/70 °C)
Krajní lodi

Obr. 5 Správné zapojení sálavých pásů ve vnitřní lodi při malém teplotním rozdílu otopné vody (90/70 °C)
Vnitřní lodi

Stejně tak jako při řešení s větším teplotním rozdílem teplotnosné látky rozdělí se dodávka tepelné energie ve stejném poměru pro vnitřní část výrobní lodi a části okrajové. Přibližný poměr je 55 000 W : 35 000 W. – viz příklad z odstavce 3.12.

Pro vnitřní část s ochlazovaným světlíkem se volí panely šířky B = 900 mm, pro okrajové části pak B = 450 mm.

Tepelná bilance

$$q_{900} = 1,1 \times 3,79 \times (80-18)^{1,19} = 566 \text{ W/m} \Rightarrow Q_{900} = 566 \text{ W/m} \times 2 \times 54 \text{ m} = 61128 \text{ W,}$$

$$q_{450} = 1,1 \times 2,17 \times (80-18)^{1,18} = 310 \text{ W/m} \Rightarrow Q_{450} = 310 \text{ W/m} \times 2 \times 54 \text{ m} = 33480 \text{ W.}$$

Tento výkonový rozdíl se dá akceptovat. Důležité je zapojení jednotlivých dvojic sálavých pásů za sebou (obr. 5). V každé podélné polovině haly je vždy jeden pás přívodní – s vyšší teplotou vody a jeden pás zpětný s nižší teplotou vody.

Kontrola rychlosti proudění

$$M_1 = \frac{61\,128 \times 0,86}{20} : 6 = 438 \text{ kg/h} \quad 6 \text{ modulů v jednom panelu}$$

$$w_0 = 0,26 \text{ m/s vyhovuje.}$$

$$M_2 = \frac{33480 \times 0,86}{20} : 3 = 480 \text{ kg/h} \quad 3 \text{ moduly v jednom panelu}$$

$w_0 = 0,28 \text{ m/s}$ vyhovuje.

4. KOMPLEXNÍ ŘEŠENÍ – PŘÍKLADY

Jak bylo ukázáno v detailním řešení jednotlivých zón vytápěných zavěšenými sálavými panely – částí objektů s rozdílnými vnějšími i vnitřními vlivy – vyžaduje každá zóna odlišné technické řešení. Svůj podstatný podíl mají i teplotní rozdíly teplotnosné látky.

Odlišné rozmístění a zapojení sálavých pásů v jednotlivých zónách vyplývá také z principu dodávky tepla do oblasti pobytu člověka. Sáláním musí být do daného vymezeného prostoru dodáno takové množství tepelné energie, která pokryje tepelné ztráty, infiltraci a zachytí vnitřní vlivy tohoto prostoru. Ohraničení nemusí být provedeno pevnou překážkou (stěna).

Rozdíly v řešení ukáží nejlépe příklady.

Jako vzor byla zvolena trojpodlažní hala o rozměrech $\{(3 \times 18 \text{ m}) \times 60 \times 6 \text{ m}\}$.

Varianty:

otopná voda 135/130/70 °C,

otopná voda 95/90/70 °C.

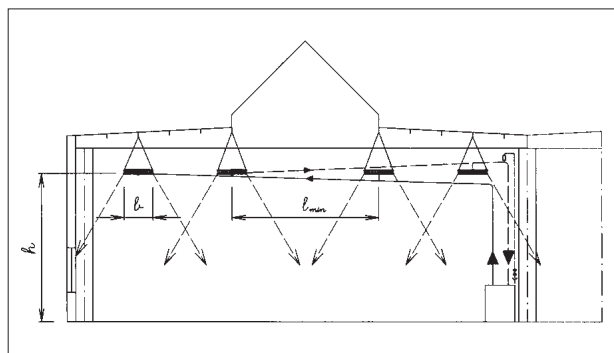
V teplotních rozdílech je první hodnota (135 resp. 95 °C) teplota přívodní vody před ejektorem, druhá hodnota (130 resp. 90 °C) teplota přívodu do otopné soustavy za ejektorem.

Třetí hodnota (70 °C) teplota zpětné vody.

4.1 Otopná voda s velkým teplotním rozdílem (135/130/70 °C)

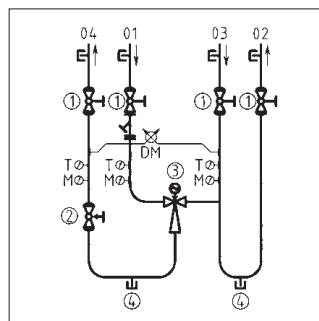
Vytápěný trojpodlažní objekt (obr. 8) byl rozdělen na tři zóny A, B, C. Obě krajní zóny (A, C) ovlivňují kromě tepelných ztrát střešou, světlíky a podlahou též tepelné ztráty obvodového pláště, oken a vrat. Pozor! Předpokládá se ojedinelé otevírání vrat. V případě větší četnosti musí se v místech čel osadit dodatkové panely, případně doplnit vratovou clonou. Detailním rozбором v odstavci 3.11 bylo stanoveno osazení čtyřmi sálavými pásy: 4x 54 000/600 – K2 zapojeními za sebou: A1, A2, A3, A4 resp. C1, C2, C3, C4. Teplota vody klesá od vnější stěny k vnitřku haly. Střední teplota v příčném řezu v krajní části ($\varnothing t_m = 115^\circ\text{C}$) i části vnitřní ($t_m = 85^\circ\text{C}$) je po celé délce objektu stejná, čímž se dosahuje rovnoměrného vytápění po celé ploše. Vyšší teplota u okraje haly zajišťuje vyrovnání vlivu obvodového pláště.

Vnitřní zóna (B) má odlišné zapojení. Zde hraje podstatnou úlohu světlík. Proto se také při rozmísťování otopných pásů (4x 54 000/450 – K2) a jejich zapojení do soustavy počítá s přívodem vody do vnitřního pásu B₁ a následně pak v pořadí B₂, B₃, B₄. Potom průměrná teplota vody v pásech pod světlíkem je $t_m =$



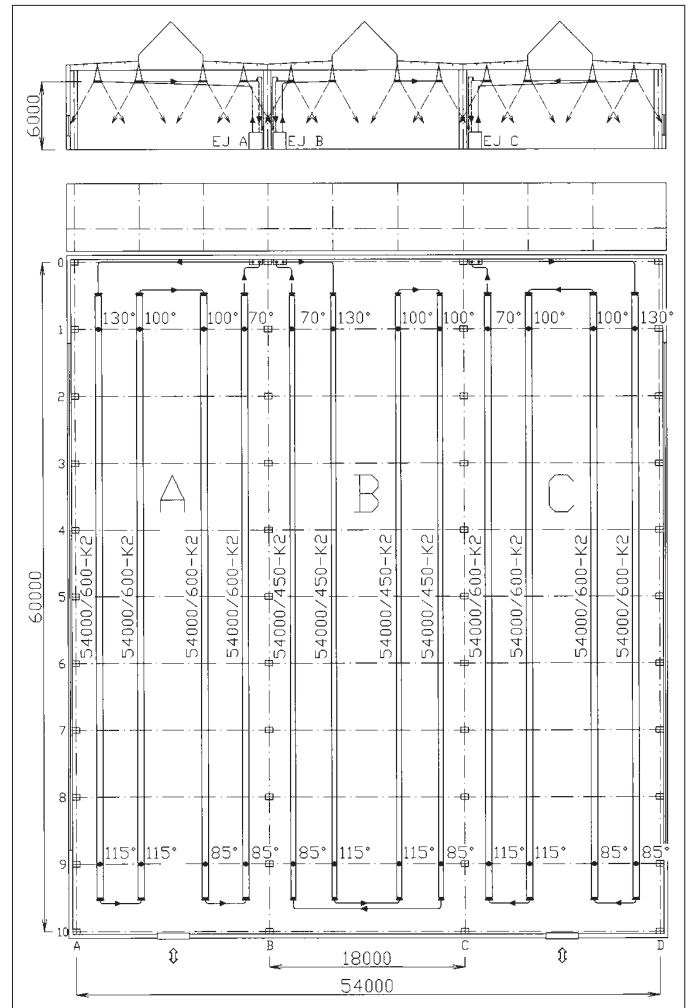
Obr. 6 Příčný řez halou

h – výška zavěšení panelů, l_{\min} – rozteč zavěšení sálavých panelů, b – šířka panelu



Obr. 7 Schéma ejektorového bloku

1 – ruční uzavírací ventil, 2 – ruční regulační ventil, 3 – ejektor se servopohonem, 4 – vypouštění, T – teploměr, M – tlakoměr



Obr. 8 Rozmístění a velikosti sálavých pásů v hale 60 x 54 x 8 m

Horká voda 135/130/70 °C

115 °C – vyrovnává vliv jeho chladných ploch v okrajích pod střešním pláštěm $t_m = 85^\circ\text{C}$. Uvedeným zapojením sálavých pásů se docílí rovnoměrného vytápění po celé ploše haly.

Jako regulační prvek slouží regulovatelné ejektory v kombinaci s regulátorem s optimalizačním programem zařazené do ejektorových bloků (obr. 8). – EJA, EJB, EJC. Aby bylo připojovací potrubí co nejkratší byly situovány v čele haly.

4.2 Otopná voda s malým teplotním rozdílem (95/ 90/70 °C)

Detailním rozбором v odstavci 3.21 byla vyřešena rovnoměrnost vytápění v krajních výrobních lodích (A, C) při použití otopné vody s malým teplotním rozdílem osazením sálavých pásů rozdílné šířky. Dvě otopná tělesa – ve vnější polovině pásy šířky 1050 mm (2x 54 000/1050 K2), ve vnitřní polovině pásy 600 mm (2x 54 000/600 – K2).

Vnitřní výrobní loď má také rozdílné šířky pásů – jejich rozmístění odpovídá vlivu střešního pláště. Uprostřed otopná tělesa 2x 54 000/900 K2, u okrajů pak 2x 54 000/450 – K2. Pásy jsou zapojeny tak, že voda proudí ve vedlejším pásu v protisměru, čímž se **částčně** dosahuje v příčném směru stejné teploty. Úplně stejnou teplotu nelze dosáhnout vlivem **rozdílné šířky** sousedících pásů.

Uvedeným zapojením a volbou rozdílné šířky pásů se docílí rovnoměrného vytápění po celé ploše haly.

Stejně tak jako v předchozím příkladu jsou jako regulační prvek použity regulovatelné ejektory s regulátorem s optimalizačním programem zařazené do ejektorových bloků (obr. 7) – EJA, EJB, EJC.

5. ZÁVĚR

Hospodárnost vytápění zavěšenými sálavými panely podstatně zvýrazňuje rozmištění a jejich následné zapojení do tepelně technické soustavy.

Detailní rozbor jednotlivých částí soustavy ukázal, že nestačí pro dosažení úsporného vytápění velkoprostorových objektů jen samotný princip dodávky tepelné energie do vytápěného prostoru sáláním, ale že je třeba se zabývat i odpovídajícím rozložením otopných pásů nad celou plochou objektu.

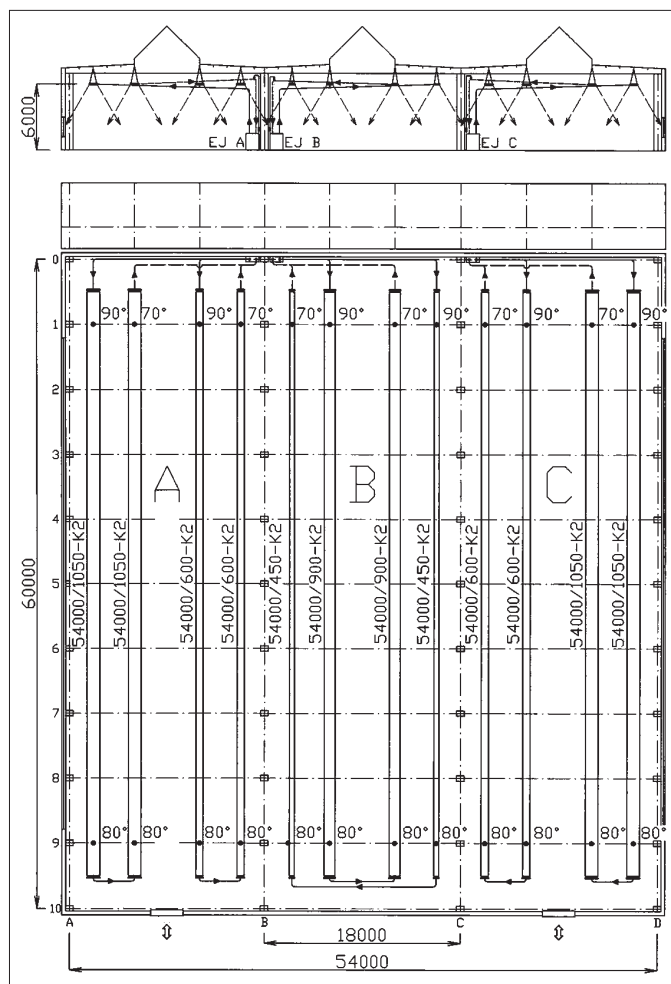
U skutečné realizace sálavých soustav podle uvedených principů řešení potvrdily 30 až 40 % úspory tepelné energie proti nástěnným teplovzdušným soupravám.

Téma bylo předneseno na Konferenci vytápění Třeboň 2005.

Spojení na autora: e-mail miroslav.kotrbaty@kotrbaty.cz, www.kotrbaty.cz

Použité zdroje:

- [1] Kotrbatý, M., Kovářová, Z.: Vytápění zavěšenými sálavými panely – část 1. VVI 2002, roč. 11, č. 4, s. 134–138
- [2] Kotrbatý, M., Kovářová, Z.: Vytápění zavěšenými sálavými panely – část 2. VVI 2002, roč. 11, č. 5, s. 207–211.
- [3] Kotrbatý, M., Hojer, O.: Využití a návrh regulovatelných ejektorů. Požadavky na potrubní síť. BRATISLAVA. TZB 2004, č. 3. ■



Obr. 9 Rozmištění a velikosti sálavých pásů v hale 60 x 54 x 8 m
Teplá voda 95/90/70 °C

* DORIN vyvinul kompresory šetrné k životnímu prostředí

Se stále rostoucím zřetelům k ustanovením Kjótského protokolu se firma DORIN přizpůsobila trendu trhu a vyvinula nové řady kompresorů, používaných v chladicích a klimatizačních zařízeních a v tepelných čerpadlech. Jde o tyto výrobky:

- dvě řady vysoce účinných kompresorů vhodných pro chladiva typů HCFC a HFC,
- řada kompresorů pro CO₂, určená jak pro podkritické, tak nadkritické parametry.

Řada H32 zahrnuje pístové kompresory od 3 do 5,6 kW chladicího výkonu a řada Y od 26 do 60 kW. Výhodami těchto nových konstrukčních řešení jsou:

- vysoké hodnoty topného a chladicího faktoru,
- velmi nízká hluchost,
- velmi nízké vibrace,
- extrémně nízké pulsace ve vytlačovaném plynu,
- možnosti pohonu pro různé frekvence proudu.

Tato velká zlepšení byla dosažena novou konstrukcí ventillové desky a pístu, která podstatně snížila tlakové ztráty v sání a výtlačku kompresorů řady H32 a Y.

Podle JARN č. 9, 2004

Karel Brož

* Kompresory pro CO₂

V posledních 10 letech se zvýšil zájem o oxid uhličitý jako o chladivo vzhledem k jeho přirozenému výskytu v atmosféře a nulovému vlivu na ozonovou vrstvu a nižší oteplovací účinek v atmosféře než mají chladiva HCFC a HFC. DORIN předvídal tento trend a vyvíjel kompresory pro CO₂ již od počátku devadesátých let.

Za výhody CO₂ se považují:

- je látkou vyskytující se v přírodě,
- má nulový vliv na ozonovou vrstvu (ODP = 0),
- srovnávací oteplovací účinek atmosféry GWP = 1,
- je nehořlavý,
- není toxický,
- je levný a dostupný na celém světě.

Hlavní rysy kompresorů jsou:

- možnost využití v podkritické i nadkritické oblasti, výtlačný tlak do 16 MPa,
- jedno a dvoustupňové modely,
- dvou a vícepólové elektromotory,
- vysoká spolehlivost,
- vysoká účinnost,
- možnosti pohonu pro různé frekvence proudu.

Na základě velmi příznivých zkušeností z provozu několika stovek kompresorů DORIN hodlá v příštích letech vyvinout několik dalších prototypů. Roční provoz chladi-

cího zařízení s kompresorem DORIN CO₂ v dánské restauraci byl porovnán s provozem standardního chladicího zařízení stejného výkonu v dánské restauraci shodného typu a velikosti.

Zařízení s CO₂ mělo o 20 % nižší roční spotřebu elektřiny a o 35 % nižší oteplovací účinek TEWI (Total Equivalent Warming Impact).

Firma DORIN si touto svojí činností vytváří velmi dobré předpoklady k uplatnění na trhu při náhradách chladiv typu HFC.

Podle JARN č. 9, 2004

Karel Brož

* Certifikáty Eurovent za rotory

Na výstavě ISH/Aircontec představily firmy *Eventus* a *Hoval* své rotační výměníky tepla, na které krátce předtím dostaly certifikáty Eurovent.

Důvodem k udělení certifikátů bylo ověření hodnot přenosu tepla a vlhkosti, jakož i tlakových ztrát, na základě čehož Eurovent potvrdil naprostý souhlas všech parametrů s údaji uváděnými v katalogích.

CCI 5/2005

(Ku)